

# 电 磁 场 工 程

林 为 干 著

人 民 邮 电 出 版 社

## 内 容 简 介

本书讨论电磁场理论在工程中的实际应用。主要内容有：无色散的传输线问题，特别是特种截面的同轴线问题；色散波的波型理论，重点是在填充不均匀介质的波导的传输问题；讨论椭圆波导理论及其工程应用；研究了球面波及弯波导问题，以解决工程中波导弯曲的问题。由此而引入了诸如：微扰法，求矩法及马丢函数的应用。

本书适于有关专业的工程技术人员使用，也可供科研人员，大专院校教师及高年级学生使用。

## 电 磁 场 工 程

林 芳 干 著

人民邮电出版社出版

北京东长安街27号

河北省邮电印刷厂印刷

新华书店北京发行所发行

各地新华书店经售

开本：787×1092 1/32 1982年2月 第 一 版

印张：15 8/32 页数：244 1982年2月河北第一次印刷

字数：350 千字 印数：1—5.100 册

统一书号：15045·总2490—无6142

定价：1.65 元

## 序

本书是根据作者1975年以来在工厂，研究所的一些讨论班上所用的讲稿、讲义，并结合一些科研工作整理而成的。原意是要和参加的同志一起探讨相互提高，解决问题，研究进行分析计算的方法以及如何利用文献资料。希望本书的出版也能够达到这个目的，或部分地达到这个目的。

本书共分四章，第一章主要是讨论无色散的传输线问题，特别是特种截面的同轴线问题。第二章讨论色散波的波型理论，讨论了微扰法的应用；重点是在填充不均匀介质的波导的传输问题。第三章讨论椭圆波导理论，由于椭圆波导已在卫星通讯地面站等大型设备中广泛应用，故有必要进行深入研究，从而也研究了马丢函数的应用。第四章讨论球面波及弯波导问题，引入求矩法的应用。

作者所在单位领导对本书的出版给予了很大的支持和鼓励，章日荣同志对全书进行校阅，改正了不少错误，作者在此一并表示感谢。限于作者的水平，本书的缺点，错误是难免的，希望读者不吝指正。

作者

一九八〇年三月

# 目 录

## 序

第一章 传输线式波型(波型理论).....	( 1 )
一、传输线的工作特性.....	( 7 )
二、拉普拉斯方程的解.....	( 17 )
三、线电荷的复电位.....	( 22 )
四、两平行圆柱间的电容和特性阻抗.....	( 23 )
五、保角变换(阻抗圆图).....	( 28 )
六、施瓦兹变换.....	( 36 )
七、具有一个内角(角度等于零)的多角形问题.....	( 42 )
八、具有两个内角的多角形问题.....	( 48 )
九、具有三个内角的多角形问题.....	( 54 )
十、具有四个内角的多角形问题—耦合线.....	( 59 )
十一、椭圆函数的基本性质.....	( 70 )
十二、微带.....	( 79 )
十三、特种截面传输线特性阻抗的计算.....	( 91 )
十四、外圆内矩的同轴线.....	( 110 )
十五、阻抗匹配问题.....	( 121 )
附录 I、外矩内圆同轴线的特性阻抗.....	( 149 )
附录 II、外圆内矩同轴线的特性阻抗.....	( 159 )
思考题.....	( 164 )
参考文献.....	( 167 )
第二章 色散波型理论.....	( 169 )

一、简单直波导	( 169 )
二、不均匀介质填充的波导	( 200 )
三、不均匀介质填充的矩形波导	( 208 )
四、不均匀介质填充的圆波导	( 234 )
五、具有自聚性能的 $h(u_1)$ 分布	( 259 )
六、非圆波导	( 274 )
参考文献	( 297 )
<b>第三章 椭圆直波导</b>	( 299 )
一、平面椭圆坐标系	( 299 )
二、椭圆截面直波导	( 305 )
三、波型的正交性	( 308 )
四、马丢函数	( 309 )
五、贝塞尔函数级数解	( 317 )
六、渐近展式	( 321 )
七、第二种渐近展式	( 326 )
八、第三种渐近展式	( 330 )
九、椭圆波导中的场结构	( 333 )
十、电磁场场型图	( 340 )
十一、功率传输及效率问题 ( 衰减常数的计算和曲线 )	( 344 )
十二、椭圆波导的阻抗问题	( 359 )
十三、最大传输功率 ( 功率容量问题 )	( 366 )
十四、近似处理	( 367 )
十五、半椭圆波导	( 371 )
附录 A	( 376 )
阶数为 $m$ 的周期马丢函数	( 380 )
马丢函数的一般特性	( 388 )

马丢函数的另一些特性 .....	( 393 )
稳定性问题 .....	( 402 )
正交及展开性质 .....	( 403 )
马丢函数的各种表示法 .....	( 405 )
附录B 马丢方程的一个特解 .....	( 411 )
参考文献 .....	( 415 )
第四章 球面波及弯波导问题 .....	( 417 )
一、圆锥喇叭 .....	( 424 )
二、面天线问题 .....	( 432 )
三、角锥喇叭 .....	( 436 )
四、弯波导问题 .....	( 454 )
五、积分方程的形成 .....	( 462 )
六、求矩法的应用 .....	( 465 )
七、计算问题 .....	( 466 )
习题 .....	( 467 )
参考文献 .....	( 471 )
附录 .....	( 472 )
矢量分析公式 .....	( 472 )

## 第一章 传输线式波型（波型理论）

在微波工程技术应用中，我们总是希望使用传输线式的波型，因为这个波型的场分量最简单，只有相对于传播方向的横分量，没有沿传播方向的纵分量（故又叫做横电磁波型，记作 $TEM$ 波型），从而激发及接收较易于实现。这个波型属于平面波型，其相波长（又叫做波导波长）与工作波长相等，因此实现半波长或四分之一波长线的实际线尺寸最短，这样利用传输线式波型构成的元件及器件具有尺寸小重量轻的优点。

要维持传输线式波型的传播，需要有一个双导体的传输系统，对比空心波导的单导体系统，双导体系统既然有两个导体，故导体中的损耗要在两个导体中出现，因而在高频传输时，传输线的传输效率不如空波导的传输效率高。如果这个双导体系统是不平衡的，例如同轴线及微带系统，则电场分布导致局部地方出现高电场强度，在这些地方，电击穿现象容易发生，因此这种双导体传播的功率就不如空心波导的大。

以下我们先从麦克斯韦方程开始，引入导波的概念，然后引入传输线式波型，进而建立传输线的外部特性即沿线的电压及电流分布特性，再逐步深入到这个传输线式波型的场结构，以便了解这个波型的特点，及处理这个波型的一些典型计算方法。

现取正交右手曲面坐标 $u_1$ 、 $u_2$ 、 $u_3$ ，我们来研究这个坐标系中的电磁场诸分量间的关系，在这个坐标系中，线性关系可表成下式：

$$ds^2 = h_1^2 du_1^2 + h_2^2 du_2^2 + h_3^2 du_3^2$$

其中  $ds$  为曲线的元长度,  $h_1$ 、 $h_2$  及  $h_3$  是对应  $u_1$ 、 $u_2$  及  $u_3$  坐标的线性系数。在这个坐标系中, 麦克斯韦方程具有如下的表示式

$$\begin{aligned} \nabla \times \vec{E} &= \frac{1}{h_1 h_2 h_3} \begin{vmatrix} h_1 \vec{i}_1 & h_2 \vec{i}_2 & h_3 \vec{i}_3 \\ \frac{\partial}{\partial u_1} & \frac{\partial}{\partial u_2} & \frac{\partial}{\partial u_3} \\ h_1 E_1 & h_2 E_2 & h_3 E_3 \end{vmatrix} \\ &= -\frac{\partial \vec{B}}{\partial t} \end{aligned} \quad (1a)$$

$$\begin{aligned} \nabla \times \vec{H} &= \frac{1}{h_1 h_2 h_3} \begin{vmatrix} h_1 \vec{i}_1 & h_2 \vec{i}_2 & h_3 \vec{i}_3 \\ \frac{\partial}{\partial u_1} & \frac{\partial}{\partial u_2} & \frac{\partial}{\partial u_3} \\ h_1 H_1 & h_2 H_2 & h_3 H_3 \end{vmatrix} \\ &= -\frac{\partial \vec{D}}{\partial t} \end{aligned} \quad (1b)$$

$$\vec{B} = \mu \vec{H} \quad \vec{D} = \epsilon \vec{E}$$

$$\begin{aligned} \nabla \cdot \vec{D} &= \frac{1}{h_1 h_2 h_3} \left[ \frac{\partial}{\partial u_1} (h_2 h_3 D_1) + \frac{\partial}{\partial u_2} (h_3 h_1 D_2) \right. \\ &\quad \left. + \frac{\partial}{\partial u_3} (h_1 h_2 D_3) \right] \\ &= \rho \end{aligned} \quad (1c)$$

$$\begin{aligned} \nabla \cdot \vec{B} &= \frac{1}{h_1 h_2 h_3} \left[ \frac{\partial}{\partial u_1} (h_2 h_3 B_1) + \frac{\partial}{\partial u_2} (h_3 h_1 B_2) \right. \\ &\quad \left. + \frac{\partial}{\partial u_3} (h_1 h_2 B_3) \right] \\ &= 0 \end{aligned} \quad (1d)$$



其中  $t$  是时间,  $\vec{i}_1$ 、 $\vec{i}_2$  及  $\vec{i}_3$  分别是沿  $u_1$ 、 $u_2$  及  $u_3$  坐标增加的方向取向的单位向量;  $E_1$ 、 $E_2$ 、 $E_3$  是向量  $\vec{E}$  在空间任一点上在  $\vec{i}_1$ 、 $\vec{i}_2$  及  $\vec{i}_3$  的投影, 亦即  $\vec{E}$  沿三个坐标  $u_1$ 、 $u_2$  及  $u_3$  的分量。  $\vec{E}$  是电场强度, 单位为伏/米。  $\vec{B}$  为磁通密度向量, 单位为韦伯/米<sup>2</sup>。  $\vec{H}$  为磁场强度向量, 单位为安/米;  $\vec{D}$  为电位移向量, 单位为库伦/米<sup>2</sup>。  $\mu$  是导磁系数,  $\epsilon$  为介电常数, 在真空中  $\mu = \mu_0$ ,  $\epsilon = \epsilon_0$ ,

$$\mu_0 = 4\pi \times 10^{-7} \text{ 亨/米} \quad \mu_0 \epsilon_0 = 1/c^2$$

$$c = 2.997925 \times 10^8 \approx 3 \times 10^8 \text{ 米/秒}$$

$$\epsilon_0 \approx \frac{1}{36\pi} \times 10^{-9} \text{ 法/米} = 8.85 \times 10^{-12} \text{ 法/米}$$

在工程应用中亦有人用电磁单位, 其中磁场强度单位为奥斯特 (等于  $10^3/4\pi$  安/米), 磁通用麦克斯韦 (等于  $10^{-8}$  韦伯), 磁通密度用高斯 (等于  $10^{-4}$  韦伯/米<sup>2</sup>)。

取 (1a—1d) 式, 设时间变化为谐和变化, 即设  $e^{j\omega t}$  的时间变化, 其中  $\omega = 2\pi f$  为工作角频率,  $j = \sqrt{-1}$ , 再取  $e^{-\gamma z}$  的变化, 且令

$$h_3 = 1, \quad \frac{\partial}{\partial u_3} = -\gamma \quad (1e)$$

$\gamma$  叫做传播常数, 不妨取

$$u_3 = z$$

其中  $z$  是直角坐标  $x$ 、 $y$ 、 $z$  中的  $z$  坐标, 这样的  $u_1$ 、 $u_2$ 、 $z$  正交右手曲面坐标叫做柱面坐标, 在这样的坐标中, 电磁场向量变为

$$\begin{aligned} \vec{E}(u_1, u_2, z, t) &= \vec{E}(u_1, u_2) e^{j\omega t - \gamma z} \\ \vec{H}(u_1, u_2, z, t) &= \vec{H}(u_1, u_2) e^{j\omega t - \gamma z} \end{aligned}$$

故麦克斯韦方程变为：（ $\frac{\partial}{\partial u_3}$  的微分运算降格为与  $-\gamma$  的乘法运算）

$$-j\omega\mu\vec{H} = \frac{1}{h_1 h_2} \begin{vmatrix} h_1 \vec{i}_1 & h_2 \vec{i}_2 & \vec{i}_z \\ \frac{\partial}{\partial u_1} & \frac{\partial}{\partial u_2} & -\gamma \\ h_1 E_1 & h_2 E_2 & E_z \end{vmatrix}$$

$$j\omega\epsilon\vec{E} = \frac{1}{h_1 h_2} \begin{vmatrix} h_1 \vec{i}_1 & h_2 \vec{i}_2 & \vec{i}_z \\ \frac{\partial}{\partial u_1} & \frac{\partial}{\partial u_2} & -\gamma \\ h_1 H_1 & h_2 H_2 & H_z \end{vmatrix}$$

将上面两个行列式写出来并经过整理即得到

$$\left. \begin{aligned} j\omega\epsilon E_1 - \gamma H_2 &= \frac{\partial}{h_2 \partial u_2} H_z \\ -\gamma E_1 + j\omega\mu H_2 &= \frac{\partial}{h_1 \partial u_1} E_z \end{aligned} \right\} \quad (2a)$$

$$\left. \begin{aligned} j\omega\mu H_1 + \gamma E_2 &= \frac{-\partial}{h_2 \partial u_2} E_z \\ \gamma H_1 + j\omega\epsilon E_2 &= -\frac{\partial}{h_1 \partial u_1} H_z \end{aligned} \right\} \quad (2b)$$

$$\left. \begin{aligned} j\omega\epsilon E_z &= \frac{1}{h_1 h_2} \left[ -\frac{\partial}{\partial u_2} (h_1 H_1) + \frac{\partial}{\partial u_1} (h_2 H_2) \right] \\ j\omega\mu H_z &= \frac{1}{h_1 h_2} \left[ \frac{\partial}{\partial u_2} (h_1 E_1) - \frac{\partial}{\partial u_1} (h_2 E_2) \right] \end{aligned} \right\} \quad (2c)$$

由 (2a) 即可解出  $E_1$  及  $H_2$ ，而由 (2b) 即可解出  $E_2$  及  $H_1$ ，整理成下式

$$H_1 = -\frac{\gamma}{k_c^2} \left\{ \frac{\partial H_z}{h_1 \partial u_1} - \frac{j\omega\epsilon}{\gamma} \frac{\partial E_z}{h_2 \partial u_2} \right\}$$

$$H_2 = -\frac{\gamma}{k_c^2} \left\{ \frac{\partial H_z}{h_2 \partial u_2} + \frac{j\omega\epsilon}{\gamma} \frac{\partial E_z}{h_1 \partial u_1} \right\}$$
(2d)

$$E_1 = -\frac{\gamma}{k_c^2} \left\{ \frac{j\omega\mu}{\gamma} \frac{\partial H_z}{h_2 \partial u_2} + \frac{\partial E_z}{h_1 \partial u_1} \right\}$$

$$E_2 = -\frac{\gamma}{k_c^2} \left\{ -\frac{j\omega\mu}{\gamma} \frac{\partial H_z}{h_1 \partial u_1} + \frac{\partial E_z}{h_2 \partial u_2} \right\}$$

其中

$$k_c^2 = k^2 + \gamma^2 \quad (2e)$$

$$k = \omega \sqrt{\mu\epsilon} = \frac{2\pi}{\lambda}$$

$k$  正比于工作波长  $\lambda$  的倒数，故叫做波数，而  $k$  是传播常数  $\gamma$  为零时  $k$  所取的值，所以叫做截止波数。

取 (2d) 式的每两个并以 (2c) 代入，例如取 (2c) 的头一式，代入 (2d) 的头两式，计及到

$$\frac{\partial}{\partial u_2} h_1 \frac{\partial H_z}{h_1 \partial u_1} - \frac{\partial}{\partial u_1} h_2 \frac{\partial H_z}{h_2 \partial u_2} = 0$$

可得到 (2f) 的头一式则可得

$$\frac{1}{h_1 h_2} \left\{ \frac{\partial}{\partial u_1} \frac{h_2}{h_1} \frac{\partial E_z}{\partial u_1} + \frac{\partial}{\partial u_2} \frac{h_1}{h_2} \frac{\partial E_z}{\partial u_2} \right\} + k_c^2 E_z = 0$$
(2f)

$$\frac{1}{h_1 h_2} \left\{ \frac{\partial}{\partial u_1} \frac{h_2}{h_1} \frac{\partial H_z}{\partial u_1} + \frac{\partial}{\partial u_2} \frac{h_1}{h_2} \frac{\partial H_z}{\partial u_2} \right\} + k_c^2 H_z = 0$$

在被引导的电磁波 (即 (1c) 式成立时的电磁场) 的研究和应用中，我们按  $E_z = H_z = 0$  及  $E_z$  和  $H_z$  中有一个不为零将被引导波划分为两大类：属于第一种情形的叫做横电磁波，如

下面即将论证的，这个电磁波又叫做传输线式的波型，它的传播常数与角频率成简单的正比关系即线性关系，故这类电磁波又叫做无色散波。属于第二种情形的，由于沿传播方向（即  $z$  方向，又叫做纵方向）的场分量不全为零，故这种电磁场叫做有纵分量场，它又按  $E_z=0$  或  $H_z=0$  区分为磁波又叫做横电波（ $TE$  是其简写，即横电场）及电波又叫做横磁波（ $TM$  是其简写，即横磁场）。对  $TE$  场  $E_z=0$ ， $H_z$  不为零，对于  $TM$  场  $H_z=0$ ， $E_z$  不为零，对于  $TE$  及  $TM$  场（2d）式的右边都只出现单项。

对于  $TEM$  场  $E_z=H_z=0$ ，故在（2d）式中只有当  $k_c \rightarrow 0$  时  $H_1$ ， $H_2$ ， $E_1$  及  $E_2$  才不全为零，此时（2e）给出

$$\gamma = \pm jk = \pm j \frac{\omega}{c}, \quad k_c = 0$$

故传播常数是工作角频率的线性函数，与  $xy$  平面上的边界无关。支持这个  $TEM$  波型的双导线就是这个边界，这个双导线叫做传输线。

本章将进一步讨论  $TEM$  波。

在这里我们可令

$$k_c \rightarrow 0, \quad H_z \rightarrow 0, \quad E_z = 0$$

但

$$\frac{E_z}{k_c^2} \rightarrow \psi$$

不为零，故（2d）式给出

$$H_1 = +j\omega\epsilon \frac{\partial \psi}{h_2 \partial u_2}$$

$$H_2 = -j\omega\epsilon \frac{\partial \psi}{h_1 \partial u_1}$$

$$E_1 = -\gamma \frac{\partial \psi}{h_1 \partial u_1}$$

$$E_2 = -\gamma \frac{\partial \psi}{h_2 \partial u_2}$$

$$\frac{E_1}{H_2} = -\frac{E_2}{H_1} = \frac{\gamma}{j\omega\epsilon}$$

而由(2f)式

$$\frac{\partial}{\partial u_1} \frac{h_2}{h_1} \frac{\partial \psi}{\partial u_1} + \frac{\partial}{\partial u_2} \frac{h_1}{h_2} \frac{\partial \psi}{\partial u_2} = 0 \quad (2g)$$

$\psi$ 起着-一个位函数的作用，在二维正交曲面坐标中，满足(2g)式的拉普拉斯方程。

如果 $h_1 = h_2$ ，则上式变为

$$\frac{\partial^2 \psi}{\partial u_1^2} + \frac{\partial^2 \psi}{\partial u_2^2} = 0 \quad (2h)$$

故在二维正交曲面坐标中，如 $h_1 = h_2$ ，则拉普拉斯方程在形式上与在直角坐标中的一样。如果

$$\xi = \xi + j\eta = F(z_1),$$

或

$$z_1 = x + jy = f(\xi) = f(\xi + j\eta)$$

则 $h_1 = h_2$ 的关系成立。因为

$$|dz_1|^2 = dx^2 + dy^2 = |f'(\xi)|^2 (d\xi^2 + d\eta^2)$$

故

$$h_1^2 = h_2^2 = |f'(\xi)|^2 \quad (2i)$$

在下面第十三节将要用到这些关系式。

## 一、传输线的工作特性

由初等电工学可知，对于具有分布参数的传输线，沿线的电压和电流的改变量为：

$$\left. \begin{aligned} \Delta V &= -\{(R+j\omega L)\Delta x\}I \\ \Delta I &= -\{(G+j\omega C)\Delta x\}V \end{aligned} \right\} \quad (3a)$$

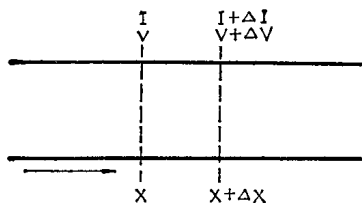


图 1 双导体传输线

式中  $R$ 、 $G$ 、 $L$  和  $C$  分别为传输线的分布电阻，电导，电感和电容， $\omega$  为工作角频率， $\Delta x$  为坐标增量（如图 1）， $I$ 、 $V$  分别为  $x$  点的电流和电压。把上面两式分别除以  $I$  及  $V$ ，即得到：

$$\frac{\Delta V}{V} = -\{(R+j\omega L)\Delta x\} \frac{I}{V}$$

$$\frac{\Delta I}{I} = -\{(G+j\omega C)\Delta x\} \frac{V}{I}$$

为了实现有效的功率传输，希望传输线上呈行波状态，即随着  $\Delta x$  的增加， $I$ 、 $V$  有相同的相对增量，即是说要令

$$\frac{\Delta I}{I} = \frac{\Delta V}{V}$$

因此上面两个式子相等，则有

$$\left(\frac{V}{I}\right)^2 = \frac{R+j\omega L}{G+j\omega C}$$

而传输线的特性阻抗可取作此时的  $V/I$  比，即

$$Z_0 = \frac{V}{I} = \sqrt{\frac{R+j\omega L}{G+j\omega C}} = \frac{1}{Y_0} \quad (3b)$$

对于低耗传输线有

$$R \ll \omega L, \quad G \ll \omega C$$

故

$$Z_0 = \frac{1}{Y_0} = \sqrt{\frac{R+j\omega L}{G+j\omega C}}$$

$$\begin{aligned}
 &= \sqrt{\frac{L}{C}} \left(1 + \frac{R}{j\omega L}\right)^{\frac{1}{2}} \left(1 + \frac{G}{j\omega C}\right)^{-\frac{1}{2}} \\
 &\approx \sqrt{\frac{L}{C}}
 \end{aligned} \tag{3c}$$

这时，传输线上电压和电流的改变为

$$\begin{aligned}
 \frac{\Delta V}{V} &= -(R + j\omega L) Y_0 \Delta x \\
 \frac{\Delta I}{I} &= -(G + j\omega C) Z_0 \Delta x
 \end{aligned}$$

或

$$\begin{aligned}
 \frac{\Delta I}{\Delta x} &= -\gamma I \\
 \frac{\Delta V}{\Delta x} &= -\gamma V
 \end{aligned}$$

式中的传播常数

$$\gamma = \sqrt{(R + j\omega L)(G + j\omega C)} \tag{4a}$$

对低耗传输线有

$$\begin{aligned}
 \gamma &= j\omega \sqrt{LC} \left(1 + \frac{R}{j\omega L}\right)^{\frac{1}{2}} \left(1 + \frac{G}{j\omega C}\right)^{\frac{1}{2}} \\
 &= j\omega \sqrt{LC} \left(1 + \frac{R}{j2\omega L} + \dots\right) \left(1 + \frac{G}{j2\omega C} + \dots\right) \\
 &\approx j\omega \sqrt{LC} + \frac{R}{2Z_0} + \frac{G}{2Y_0} \\
 &= j\beta + \alpha
 \end{aligned} \tag{4b}$$

式中  $\beta = \omega \sqrt{LC}$  为相位常数， $\alpha = \frac{R}{2Z_0} + \frac{G}{2Y_0}$  为衰减常数。这时，传输线上的电压和电流分布为

$$\left. \begin{aligned} V &\propto e^{-\gamma x} \\ I &\propto e^{-\gamma x} \end{aligned} \right\} \quad (5)$$

例如对于两正圆柱同轴线来说，由高斯定理已知单位长传输线上的电容为

$$C = \frac{Q}{V}$$

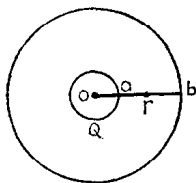


图 2 正圆柱同轴线

其中  $Q = 2\pi r \times 1 \times \epsilon E_r$ ，或  $E_r = \frac{Q}{2\pi\epsilon r}$ （见图 2）， $\epsilon$  为内外导体间介质的介电常数。

因

$$V = \int_a^b E_r dr = \frac{Q}{2\pi\epsilon} \ln \frac{b}{a}$$

故

$$C = \frac{2\pi\epsilon}{\ln \frac{b}{a}} \quad (6)$$

又由全电流定律已知单位长传输线上电感  $L$  为

$$L = \frac{\phi}{I}$$

其中磁通  $\phi$  为

$$\begin{aligned} \phi &= \int_a^b \mu H_\circ dr = \int_a^b \mu \frac{I}{2\pi r} dr \\ &= \frac{\mu I}{2\pi} \ln \frac{b}{a} \end{aligned}$$

即

$$L = \frac{\mu}{2\pi} \ln \frac{b}{a} \quad (7)$$



式中 $\mu$ 为同轴线内外导体间介质的导磁系数。显然，由(3b)式，同轴线的特性阻抗为

$$Z_0 = \sqrt{\frac{L}{C}} = \frac{1}{2\pi} \sqrt{\frac{\mu}{\epsilon}} \ln \frac{b}{a} \quad (8)$$

必须着重指出，由同轴线这个特例，我们引入下列几组具有普遍意义的公式，它们对于计算微带和某些其它类型的传输线将十分有用。

由(6)和(7)得

$$LC = \mu\epsilon \quad (9a)$$

$$Q = CV \quad (9b)$$

由(9)式

$$Q = CV = \frac{\sqrt{LC}}{\sqrt{\frac{L}{C}}} V = \frac{\sqrt{\mu\epsilon}}{Z_0} V$$

$$= \sqrt{\mu\epsilon} I,$$

及电磁波传播速度

$$v = \frac{1}{\sqrt{\mu\epsilon}} = \frac{1}{\sqrt{LC}} \quad (9c)$$

得

$$Q = \frac{I}{v} \quad (10)$$

或

$$Z_0 = \frac{1}{vC} = \frac{1}{Y_0} \quad (11)$$

及

$$Z_0 = \sqrt{\frac{L}{C}} = \frac{L}{\sqrt{LC}} = vL = \frac{1}{Y_0} \quad (12)$$

下面将进一步证明(9)–(12)对多导体柱上平面波(TEM)的普遍适用性。